

پیش‌گویی نیروهای برشی در امتداد لبه‌های برش متئه مارپیچ

دکتر محمد رضا رازفرⁱ، رضا صائبی رادⁱⁱ

چکیده

در این مقاله با اعمال اصل بقای انرژی در فرآیند سوراخکاری، یک مدل ریاضی برای پیش‌گویی مقادیر نیروی محوری و گشتاور پیچشی و همچنین نحوه توزیع آنها در مقاطع مختلف لبه‌های برش متئه مارپیچ ارائه شده است. با اعمال روش خط مربعات حداقل، ثابت‌های مدل ریاضی اخیر در شرایط سوراخکاری قطعه کار چدنی با متئه های مارپیچ فولاد تندبر محاسبه و نشان داده شده است که با اطلاعات حاصل از آزمایش‌های نیروسنجی تطابق خوبی دارند. حداکثر خطای ملاحظه شده برای حالتی که کل پیشانی متئه مارپیچ (شامل مناطق سه کانه برش) با قطعه کار چدنی درگیر باشد ۷/۲۹ درصد است.

کلمات کلیدی

فرآیند سوراخکاری، متئه مارپیچ، نیروی برشی، نیروی محوری، گشتاور پیچشی

Presenting the optimal formulas for calculation of cutting forces and torque in drilling process

M.R. Razfar ; R. Saebi rad

ABSTRACT

The goal of this paper is presenting the optimal formulas and calculation of cutting forces and torque in drilling process. The presented mathematical models are developed to predict the thrust and torque forces at the different regions of cutting on a twist drill. The geometry of the drilling process (chipload, cutting angles,..) was exploited for developing this models.

The input to the model is the machining conditions and the tool geometry and the model predicts the thrust and torque profile along the cutting lips and the chisel edge of the twist drill.

KEYWORDS

Drilling process , Twist drill , Cutting force , Thrust force , Torque force

ⁱ استادیار دانشگاه صنعتی امیرکبیر دانشکده مهندسی مکانیک Razfar@aut.ac.ir

ⁱⁱ کارشناس ارشد مکانیک ساخت و تولید استاد مدعو دانشگاه صنعتی امیرکبیر دانشکده مهندسی مکانیک کارگاه ماشین ۲ reza_saebirad@yahoo.com

۱- مقدمه

مته (α_{nx_0}) ، ضخامت جان مته (2W) ، زاویه لبه جان مته و زاویه آزاد مته (β_0) . عمل برش در پیشانی مته مارپیچ و در مناطق سه گانه واقع بر لبه های برنده اصلی و لبه جان مته انجام می شود.

در شکل (۱) هندسه مته مارپیچ و مناطق سه گانه برش در عملیات سوراخ کاری مطابق استاندارد 328 BS نمایش داده شده است، عمل برش در طول لبه های برنده مته مارپیچ، یک فرآیند ماشین کاری سه بعدی است. سرعت برشی، زاویه تمایل و زاویه براده در امتداد لبه های برش ابزار نسبت به فاصله شعاعی (۲) از محور مته مارپیچ تغییر می کند فاصله شعاعی، مسافت نقاط واقع بر لبه های برش ابزار نسبت به فاصله محور ابزار و در صفحه ای عمود بر آن اندازه گیری می شود معادلاتی که پارامترهای یاد شده را در امتداد لبه های برش مته مارپیچ توصیف می کنند، تابعی از مختصات شعاعی نرمال ($r/R = p$) می باشد و یوگی مهم معادلات اخیر این است که برای دو مته مارپیچ با قطرهای متفاوت و نسبت ضخامت جان مته به قطر یکسان برای نقاط دارای مختصات شعاعی نرمال برابر، کلیه زوایای برش (زاویه های براده ، مارپیچ و تمایل) در امتداد لبه های برنده ابزار برابر است. این یوگی به تشابه هندسی مته های مارپیچ معروف است. در شکل (۲) تغییرات زوایای برش نسبت به مختصات شعاعی نرمال (p) و در امتداد لبه های برش مته مارپیچ ترسیم شده است.

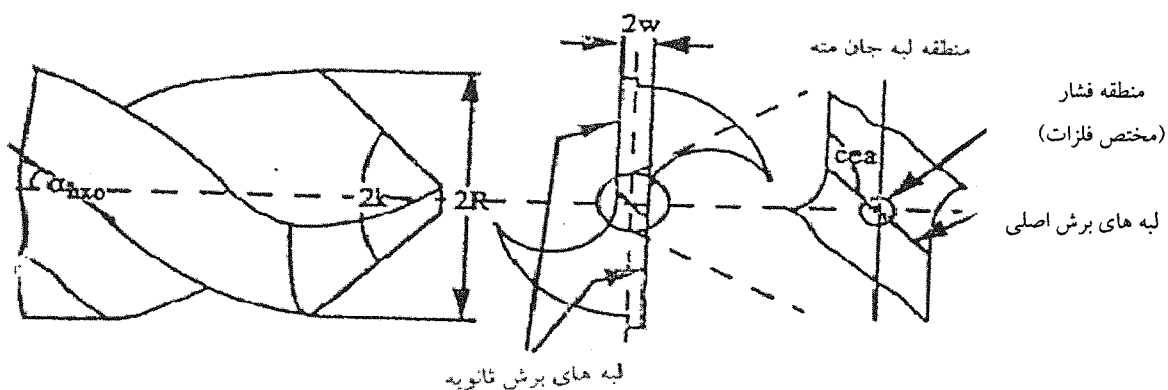
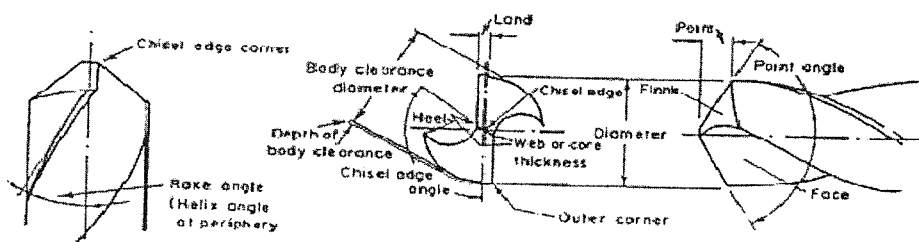
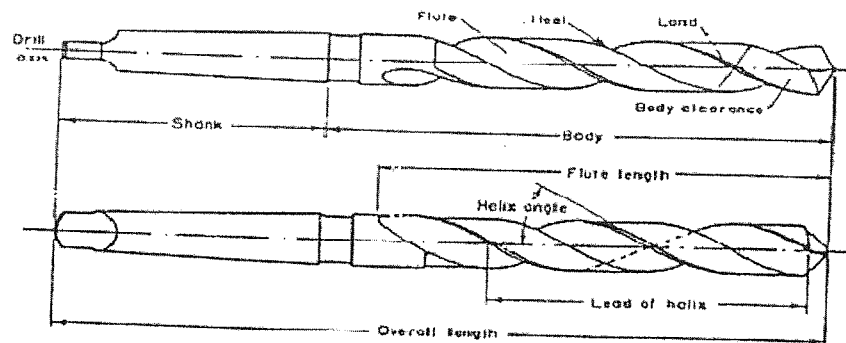
همچنانکه در شکل مشاهده می شود ، زاویه براده نرمال به طور قابل ملاحظه ای در امتداد لبه های برش مته مارپیچ تغییر می کند ، مقدار این زاویه در اطراف مرکز مته منفی و در محیط ابزار بیشترین مقدار مثبت را دارد. سرعت برشی یک تابع خطی از فاصله شعاعی نرمال است که مقدار آن در مرکز مته صفر و در دورترین نقطه ($p = 1$) دارای مقدار حداقل است؛ تغییرات زاویه براده نرمال و سرعت برشی در امتداد لبه های برش مته مارپیچ سبب تغییر در فشارهای مخصوص برش (در هر دو راستای قائم و مماس بر لبه های برش) می شود؛ بنابراین نیروهای برشی در امتداد لبه های برنده ابزار تغییر می کند .

ماشینها از قطعات و اجزای متعددی ساخته و به وسیله پیچ و مهره ها، پینها و ... روی هم سوار می شوند، برای مونتاژ این اجزا و استفاده از وسایل اتصال ، در داخل قطعات سوراخ هایی ایجاد می شود؛ سوراخ هایی که مقطع دایره ای دارند و با روش براده برداری و به وسیله ابزاری به نام مته ایجاد می شوند. این عمل را سوراخ کاری می نامند و علاوه بر موارد فوق به متظور عبور مایعات و گازها و همچنین محل قرار گرفتن پیستون ها و محورها و سیستم های انطباقی و راهنمای کاربردهای دیگری در قطعات مختلف استفاده می شود. آگاهی از اندازه نیروی محوری و گشتاور پیچشی عملیات سوراخ کاری در انتخاب نوع ماشین ابزار و مقادیر پارامترهای ماشین کاری پر اهمیت است. چنانچه توان ماشین مته برای اجرای عملیات سوراخ کاری کافی نباشد ، طراحی و اجرای سوراخ های پیش مته مناسب ضرورت پیدا می کند . برای این کار لازم است آگاهی کافی از توزیع نیروهای برشی در امتداد لبه های برش ابزار سوراخ کاری حاصل شود. مقاله حاضر به این موضوع پرداخته و نحوه توزیع نیروهای برشی در امتداد لبه های برش مته مارپیچ را به صورت فرمولهای ریاضی انتگرالی ارایه داده است .

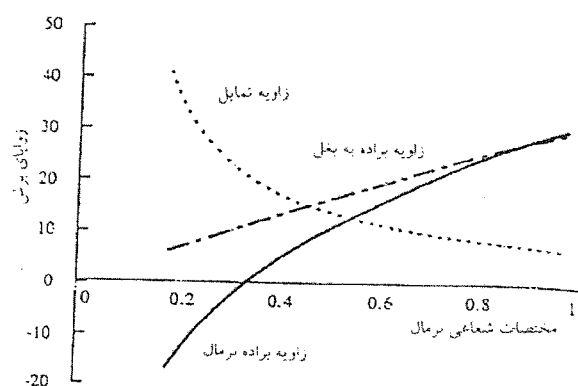
۲- اصول مدل سازی نیروهای برشی در عملیات سوراخ کاری و در امتداد لبه های برش مته مارپیچ

مرچنت با به کار بردن روش اصل بقای انرژی نشان داد که اگر براده در اثر برآیند نیروی ماشین کاری در تعادل باشد ، نیروهای برشی متناسب با سطح مقطع براده تغییر شکل نیافته خواهد شد . سطح مقطع براده نتراشیده، سطح فرضی منطبق بر صفحه برش است که در صفحه ای عمود بر محور سرعت برشی اندازه گیری می شود. ثابت این تناسب، فشار مخصوص برش است که تابعی از شرایط ماشین کاری ، هندسه ابزار برش ، ضخامت براده نتراشیده (α)، زاویه براده نرمال (α_n) و سرعت برشی (V) می باشد [۵] .

پارامترهای مهمی که هندسه مته مارپیچ را توصیف می کنند عبارتند از : قطر مته (2R) ، زاویه رأس مته (2K) ، زاویه مارپیچ



شکل (۱) هندسه مته مارپیچ و مناطق سه گانه برش در عملیات سوراخ کاری [۲]



شکل (۲) تغییرات زوایای برش مارپیچ نسبت به مختصات شعاعی نرمال [۳]

عمل برش در محیط بیرونی مته مارپیچ (که دارای حداقل زاویه براده و سرعت برش است) نسبت به مرکز آن (که زاویه براده بیشترین مقدار منفی را شامل بوده و سرعت برشی حداقل است) ، مؤثرتر است. فشارهای مخصوص برش به سمت مرکز مته افزایش و در امتداد قطر خارجی آن کاهش می یابد، برای همین مدلی برای پیشگویی نیروهای برشی در امتداد لبه های برنده مته مارپیچ مناسب است که برای تغییرات پارامترهای برشی (شامل زاویه براده نرمال و سرعت برشی) عدد ارایه داده و در صورت امکان تغییرات فشارهای مخصوص برش را در امتداد لبه های برش پیشگویی کند.

با توجه به اینکه فشارهای مخصوص برش بر روی لبه های برنده تابعی از مختصات شعاعی نرمال (ρ) است، نیروهای برشی در هر نقطه از لبه های برش حاصل ضرب فشارهای مخصوص برش در سطح مقطع المانی براده نتراسیده در همان نقطه است. مطابق شکل (۳) سطح مقطع براده نتراسیده برای این المان برابر $\frac{a_f}{2}$ و d_x تصویر لبه برش در مقطع المانی بر روی سطح عمود بر محور مته است مطابق شکل $dx = \cos(\rho) \cdot dr$ بوده و (ρ) زاویه تمایل لبه برش مته مارپیچ در موقعیت ρ است تعادل المانی نیروهای برشی در دو راستای نرمال و مماسی بشرح روابط زیر نوشته می شود [۵] :

$$df_n(\rho) = K_n(\rho) \frac{a_f}{2} d_x = K_n(\rho) \cos(\rho) R d\rho$$

$$df_t(\rho) = K_t(\rho) \frac{a_f}{2} d_x = K_t(\rho) \frac{a_f}{2} \cos(\rho) R d\rho \quad (1)$$

در رابطه اخیر (ρ) و $K_n(\rho)$ فشارهای مخصوص برش در دو جهت نرمال بر لبه های برش مته مارپیچ می باشد.

$$K_n = a_0 t_c^{a_1} V^{a_2} e^{a_3 \alpha_n}, K_t = b_0 t_c^{b_1} V^{b_2} e^{b_3 \alpha_n} \quad (2)$$

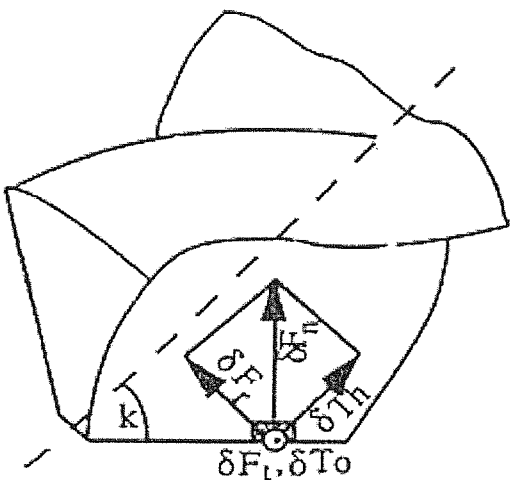
با توجه به اینکه معادلات سرعت برشی (V) و زاویه براده نرمال (α_n) به عنوان تابعی از مختصات شعاعی نرمال معلوم

هستند بنابراین فشارهای مخصوص برش در نقاطی واقع بر لبه های برش مته مارپیچ و با معلوم بودن ضرایب معادله (۲) محاسبه می شوند. این ضرایب به روش تجربی قابل محاسبه است در عملیات ماشین کاری با ابزار برش تک لبه مثل تراشکاری و ... امکان طراحی مجموعه ساده های از آزمایشها جهت محاسبه ضرایب معادلات فشارهای مخصوص برش وجود دارد ولی طرح چنین مجموعه ای از آزمایشها برای عملیات سوراخ کاری امکان پذیر نیست. زیرا هندسه مته مارپیچ بسیار پیچیده است. تغییرات سرعت برشی ، زاویه براده و زاویه تمایل در امتداد لبه های برش مته مارپیچ این ابزار را از سایر ابزارهای برشی متمایز کرده است. اخیراً محققان چون Agapiou و Stephenson با بکارگیری روش های نیمه تجربی، نیروهای برشی را در امتداد لبه های برنده مته مارپیچ مدل سازی کرده اند اما ضرایب مدل آنها از اجرای آزمایش های تراشکاری حاصل شده است روشی که این داشتماندان به کاربرده اند نیازمند اجرای آزمایش های بسیار زیادی است تا بین ترتیب محدوده تغییرات زوایای برش و سرعت برشی در امتداد لبه های برنده مته مارپیچ در معادلات نهایی لحظه شود [۷]. برای ساده سازی روش محاسبه ضرایب معا دله (۲) و فرمول بندی معادلات فشارهای مخصوص برش از مشابه هندسی متنه های مارپیچ استفاده می گردد. دو مته مارپیچ با قطر مختلف و هندسه مشابه را در نظر بگیرید . در صورتی که نسبت دور اسپیندل به قطر مته برابر باشد در این صورت سرعتهای برشی با مختصات شعاعی نرمال برابر ، یکسان خواهد بود و بین ترتیب توزیع فشارهای مخصوص برش نسبت به مختصات شعاعی نرمال در امتداد لبه های برش این دو مته کاملاً مشابه است. زاویه براده نرمال و سرعت برشی مماسی تابع های پیوسته ای از مختصات شعاعی نرمال است؛ بنابراین فشارهای مخصوص برش بر حسب مختصات شعاعی نرمال مدل سازی شده و به شرح روابط زیر بیان می شود. [۵] :

$$K_n(\rho) = c_1 \rho^a, K_t(\rho) = c_2 \rho^b \quad (3)$$

ضرایب c_1, c_2 و a, b وابسته هندسه مته مارپیچ و شرایط سوراخ کاری می باشند .

$$\cos i(\rho) = \{1 - \sin^2 i(\rho)\}^{1/2} = \\ \{1 - (\frac{w}{R\rho} \sin k)^2\}^{1/2} \equiv \{1 - \frac{w^2 \sin^2 k}{2R^2 \rho^2}\} \quad (4)$$



شکل (۴) جهت مؤلفه نیروهای برشی اعمال شده بر المان لبه های برش متنه مارپیچ [۲]

چنانچه رابطه های (۳) و (۶) در رابطه (۴) جایگذاری شود و در محدوده $\tau = \rho$ تا $\rho = \rho$ انتگرال گیری شود فرمولهای زیر جهت محاسبه مقادیر نیروی محوری و گشتاور پیچشی در محدوده مذکور واقع بر لبه های برش متنه مارپیچ ارایه می شود:

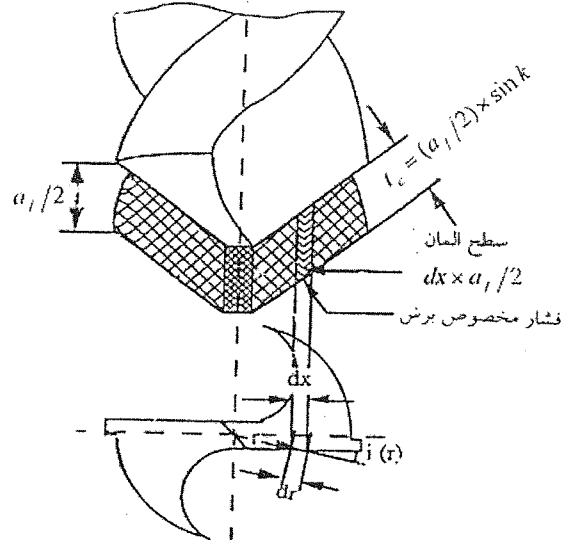
$$F_{Acl} = \frac{c_1 R a_f \sin k}{(a+1)} \{1 - \tau^{(a+1)}\} \\ - \frac{c_1 a_f w^2 \sin^3 k}{2R(a-1)} \{1 - \tau^{(a-1)}\} \quad (5)$$

$$M_{acl} = \frac{c_2 R^2 a_f}{(b+2)} \{1 - \tau^{(b+2)}\} - \frac{c_2 a_f w^2 \sin^2 k}{2b} \{1 - \tau^b\}$$

۱-۱- مدل سازی نیروهای برشی واقع بر لبه های برنده

اصلی متنه مارپیچ

در مدل پیشنهادی برای لبه های برنده اصلی متنه مارپیچ (رابطه ۷) تنها پنج آزمایش جهت تخمین ضرایب مدل کافی است بدین ترتیب خاصیت تغییر زوایای برش و سرعت برشی در امتداد لبه های برنده متنه مارپیچ در نظر گرفته می شود. با ایجاد سوراخ پیش متنه عملیات برش لبه جان متنه حذف می شود. روش کار بدین نحو است که یک سوراخ پیش متنه در قطعه کار ایجاد شده و همزمان با ورود متنه مارپیچ اطلاعات نیرو ثبت



شکل (۲) سطح مقطع برآده نتراسیده در عملیات سوراخ کاری با متنه مارپیچ [۲]

طبق شکل (۴) المان نیروهای برشی به فرم گشتاور پیچشی و نیروی محوری نوشته شده است و با انتگرال گیری از این المان ها در محدوده های معین واقع بر لبه های برش متنه مارپیچ نیروهای برشی محاسبه می شود. معادلات نیروی محوری و گشتاور پیچشی برای لبه های برنده اصلی متنه مارپیچ به صورت روابط زیر خلاصه می شود:

$$F_{Acl} = F_n \sin k = \int_{\tau}^1 2 dF_n(\rho) \sin k \\ = \int_{\tau}^1 2 K_n(\rho) \times \frac{a_f}{2} \sin k \cos i(\rho) R d\rho \quad (4)$$

$$M_{acl} = \int_{\tau}^1 2 dF_i(\rho) R \rho \\ = \int_{\tau}^1 2 K_i(\rho) \times \frac{a_f}{2} \cos i(\rho) R d\rho \quad (5)$$

در روابط فوق τ نسبت طول لبه جان متنه:

$(2w / \cos(\pi - cea))$ به قطر متنه مارپیچ است. زاویه تمایل (i) به عنوان تابعی از مختصات شعاعی نرمال با رابطه (۵) بیان می شود.

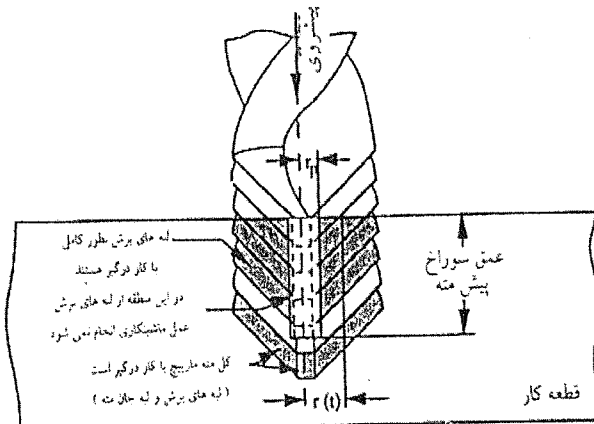
$$i(\rho) = \sin^{-1} \left\{ \frac{w}{R\rho} \sin k \right\} \quad (5)$$

و مقدار $\cos i(\rho)$ با رابطه زیر محاسبه می شود . [۴]:

برای هر معادله نیرو تنها دو ضریب a, c_1 یا b, c_2 باشد
محاسبه شود. در صورتی که اینکار با حداقل آزمایش‌ها (۲ آزمایش) و با اندازه‌های سوراخ پیش‌مته متفاوت اجرا شود، ضرایب حاصل بسیار حساس به خطا خواهد شد. ثبت پیوسته اطلاعات نیرویی در هنگام ورود مته به قطعه کار معادل اجرای بینهایت آزمایش سوراخ‌کاری با قطرهای مختلف سوراخ پیش‌مته است. برای این معادلات (۸) بهترین تخمین برای نیروهای برشی در هنگام ورود مته مارپیچ به قطعه کار محسوب می‌شود. مطابق فرضی که در معادلات (۲) شده است هیچگونه تداخلی بین خامت براده نتراسیده، سرعت برشی و زاویه براده نرمال وجود ندارد. بنابراین منحنی نیروهای برشی و مشاهدهای مخصوص برش در هر نقطه از لبه‌های برنده مته مارپیچ مطابق تغییرات پیشروی شیفت پیدا می‌کند (اشکال (۶) و (۷)). همچنین مطابق اشکال (۸) و (۹) تغییر سرعت برشی با ثابت ماندن نرخ پیشروی در هر نقطه از لبه‌های برنده مته مارپیچ باعث شیفت منحنی نیروهای برشی و مشاهدهای مخصوص برش می‌شود. مفهوم مطلب اخیر این است که ضرایب a, b مستقل از نرخ پیشروی و سرعت برشی است و معمول مقادیر پنج سری آزمایش تخمین بهتری برای ضرایب ضخامت براده نتراسیده، سرعت برشی و زاویه براده نرمال است.

معادلات (۲) در فضای لگاریتمی بر حسب متغیرهای ضخامت برآده نتراشیده و سرعت برشی خطی است. با توجه به اینکه ضخامت برآده نتراشیده، سرعت برشی و زاویه برآده نزمال مستقل از هم هستند برای همین ضرایب ضخامت برآده نتراشیده (b_1, a_1) با لگاریتم گیری از ضرایب c_2, c_1 در سه نرخ پیشروی مختلف و تحت سرعت برشی ثابت و اجرای روش خط مربع حداقل (LSL) محاسبه می شود بطور مشابه ضرایب سرعت برشی (b_2, a_2) با اجرای سه سری آزمایش با سرعتهای برشی مختلف و نرخ پیشروی ثابت و اجرای روش LSL محاسبه می شود. حال که ضرایب سرعت برشی و ضخامت برآده نتراشیده معلوم شده اند ضرایب b_3, a_3 را برآحتی قابل محاسبه است. برای این منظور منحنی فشارهای مخصوص برش یکی از آزمایشها بر ترمهای حاصل تقسیم می شود [۵]:

می شود. مطابق شکل (۵) با ورود تدریجی مته مارپیچ به قطعه کار مقدار درگیری لبه های برش افزایش می یابد چنانچه دستگاه دینامومتر قابلیت ثبت پیوسته نیروهای برشی را نداشته باشد می توان با ایجاد سوراخهای پیش مته مختلف و با اختلاف قطر حدائق (در کار تحقیقی حاضر حداقل اختلاف قطر سوراخهای پیش مته 2mm انتخاب شده است) منحنی نیروهای برشی را ثبت کرد.



شکل (۵) تغییر سطح مقطع برای نتراسیده با ورود تدریجی متنه مارپیچ

منحنی نیرو در هنگام ورود مته به قطعه کار مجموع نیروهای برشی واقع بر فاصله شuang سوراخ پیش مته (۲_p) تا شuang؛ واقع بر لبه های برنده درگیر است بدین ترتیب میزان نیروهای برشی هر مقطع المانی از لبه های برش مته مارپیچ قابل محاسبه خواهد شد بنابراین معادلات (۷) بشرح روابط زیر اصلاح و بازنویسی می شود:

$$F_{Acl}(t) = \int_{\rho/R}^{(t)/R} 2K_n(\rho) \frac{a_f}{2} \sin k \cos i(\rho) R d\rho$$

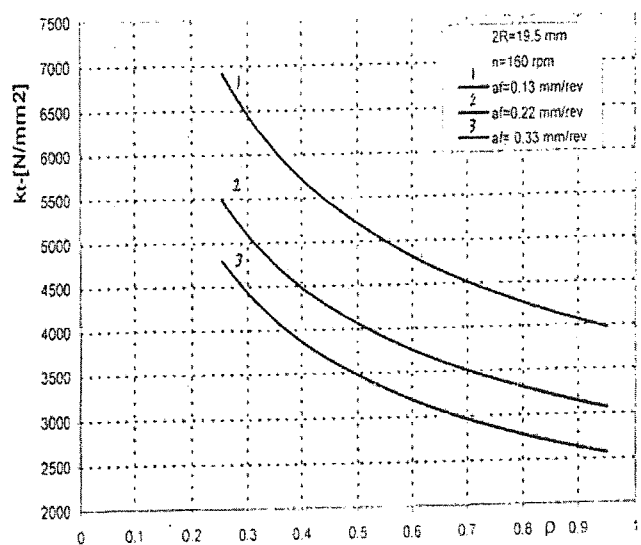
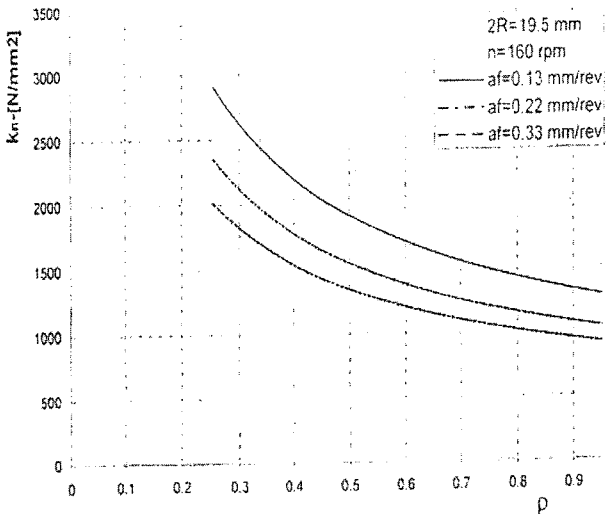
$$= \frac{c_1 R a_f \sin k}{(\alpha+1)} \left\{ \left(\frac{r(t)}{R} \right)^{\alpha+1} - \left(\frac{r_p}{R} \right)^{\alpha+1} \right\} - \frac{c_1 a_f w^2 \sin^3 k}{2R(\alpha-1)}$$

$$\left\{ \left(\frac{r(t)}{R} \right)^{\alpha-1} - \left(\frac{r_p}{R} \right)^{\alpha-1} \right\} \quad (\text{A})$$

$$M_{icl}(t) = \int_{p/R}^{(r)/R} 2K_t(\rho) \frac{a_f}{2} R\rho \cos i(\rho) R d\rho$$

$$= \frac{c_2 R^2 a_f}{(b+2)} \left\{ \left(\frac{r(t)}{R} \right)^{b+2} - \left(\frac{r_p}{R} \right)^{b+2} \right\}$$

$$- \frac{c_2 a_f \omega^2 \sin^2 k}{2b} \left\{ \left(\frac{r(t)}{R} \right)^b - \left(\frac{r_p}{R} \right)^b \right\}$$

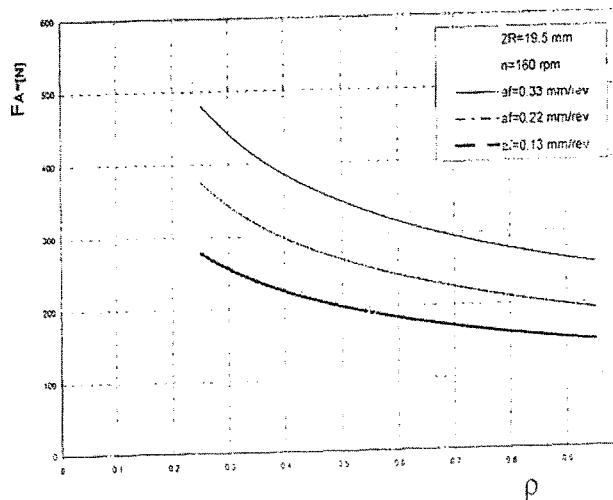
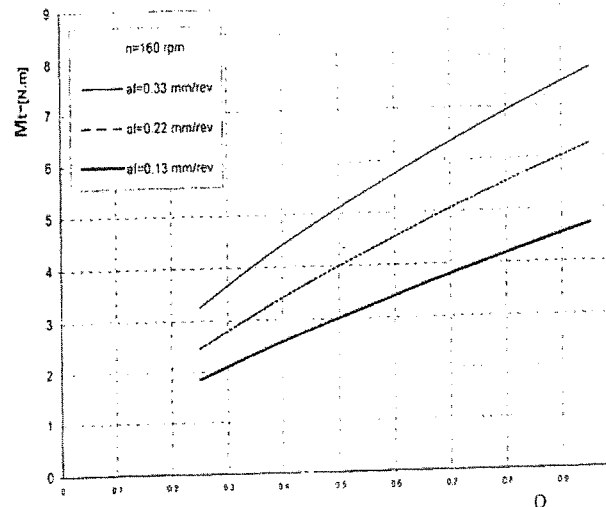


شکل (۷) تغییرات فشارهای مخصوص برش (K_t, K_n) بر حسب فاصله شعاعی نرمال (ρ) در طول لبه های برش متنه مارپیچ قطر متنه ۱۹.۵mm، سرعت دورانی ثابت ۱۶۰rpm و نرخ پیشروی متغیر $0.13 \text{ mm/rev}, 0.22 \text{ mm/rev}, 0.33 \text{ mm/rev}$

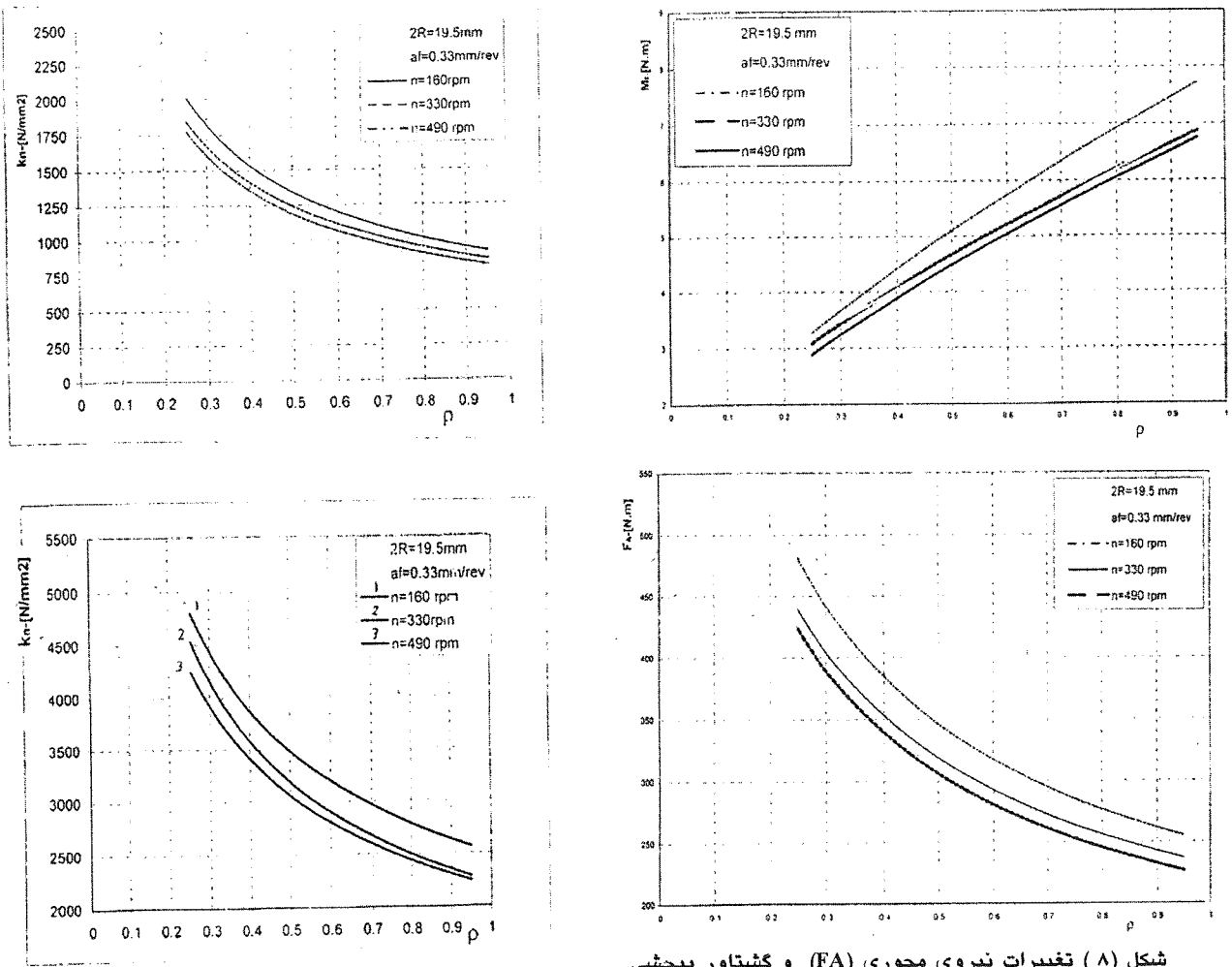
$$\left(\frac{c_1 \rho^a}{t_c^{a_1} V^{a_2}(\rho)} \right) = a_0 e^{a_3 \alpha_n(\rho)} \quad (4)$$

$$\left(\frac{c_2 \rho^b}{t_c^{b_1} V^{b_2}(\rho)} \right) = b_0 e^{b_3 \alpha_n(\rho)}$$

کلیه ضرایب موجود در طرف چپ معادلات فوق معلوم هستند و همچنین رابطه زاویه براده نرمال با مختصات شعاعی نرمال مشخص است، بنابراین طرف چپ معادلات و همچنین زاویه براده نرمال برای مقادیر متفاوت ρ محاسبه و بالگاریتم گیری از طرفین معادله (۴) و اجرای روش LSL ضرایب b_3, a_3, b_0, a_0 محاسبه می شود [۵].



شکل (۸) تغییرات نیروی محوری (FA) و گشتاور پیچشی (Mt) بر حسب فاصله شعاعی نرمال (ρ) در طول لبه های برش متنه مارپیچ قطر متنه ۱۹.۵mm، سرعت دورانی ثابت ۱۶۰rpm و نرخ پیشروی متغیر $0.13 \text{ mm/rev}, 0.22 \text{ mm/rev}, 0.33 \text{ mm/rev}$



شکل (۸) تغییرات نیروی محوری (FA) و گشتاور پیچشی (Mt) بر حسب فاصله شعاعی نرمال (ρ) در طول لبه های برش مته مارپیچ قطر مته ۱۹.۵mm، سرعت دورانی ثابت ۱۶۰rpm و نرخ پیشروی متغیر ۰.۱۳ mm/rev , ۰.۲۲ mm/rev, ۰.۳۳ mm/rev

شکل (۹) تغییرات فشارهای مخصوص برش (Kt, Kn) بر حسب فاصله شعاعی نرمال (ρ) در طول لبه های برش مته مارپیچ قطر مته ۱۹.۵mm سرعت دورانی ثابت ۱۶۰rpm و نرخ پیشروی متغیر ۰.۱۳ mm/rev , ۰.۲۲ mm/rev, ۰.۳۳ mm/rev

معادلات (۲) برای محاسبه فشارهای مخصوص برش در امتداد لبه های برش ثانویه واقع بر لبه جان مته کاربرد دارد. با توجه به اینکه ضخامت براده نتراشیده و زاویه برش نرمال در طول لبه جان مته ثابت است و تنها سرعت برشی تغییر می کند برای همین معادلات فشار مخصوص برش به فرم روابط زیر بازنویسی می شود:

$$\begin{aligned} \ln K_n(r) &= \ln a_0 + a_1 \ln t_c + a_2 \left\{ \ln \left(\frac{2\pi N}{60} \right) \right. \\ &\quad \left. + \ln r \right\} + a_3 \alpha_n \quad (10) \\ \ln K_t(r) &= \ln b_0 + b_1 \ln t_c + b_2 \left\{ \ln \left(\frac{2\pi N}{60} \right) \right. \\ &\quad \left. + \ln r \right\} + b_3 \alpha_n \end{aligned}$$

۲-۲- مدل سازی نیروهای برشی واقع بر لبه جان مته (منطقه برش ثانویه و منطقه فشار

oxford فلزات انجم داده است نشان داد که در مورد سوراخ کاری اطراف محور مته مارپیچ و بربوی لبه جان مته، عمل براده برداری انجام نشده بلکه مواد این منطقه تحت فشار جریان می یابد. این منطقه به منطقه فشار معروف است. در راستای لبه های برنده ثانویه (یعنی لبه جان مته منهای ناحیه فشار) عمل برش با بیشترین زاویه براده منفی اجرا می شود. لازم به ذکر است که هنگام سوراخ کاری مواد ترد غیرفلزی منطقه فشار وجود ندارد و برای کل لبه جان مته عملیات برش معتمد با بیشترین زاویه براده منفی فرض می شود.

۳- تنظیم آزمایش‌های سوراخ‌کاری و نمایش دقیق روش محاسبه ضرایب معادله نیروهای برشی

آزمایش‌های سوراخ‌کاری با مته رادیال مدل TRO-1250 اجر شدند. دینامومتر کیسیتلر مدل 9273A با سنسورهای سوراخ‌کاری مخصوص جهت محاسبه نیروهای برشی به کار گرفته شده است. در مدل تنظیم شده روش مورد بحث در بخش (۱) استفاده شده است. جزییات هندسه ابزار سوراخ‌کاری (مته مارپیچ) و مواد قطعه کار مطابق جدول (۱) ارایه شده است.

گزارش کالیبراسیون مؤلفه قایم سنسور سوراخ‌کاری دستگاه دینامومتر مورد استفاده با دستگاه تست مقاومت کشش مدل 1494 ZWICK در دو وضعیت بارگذاری واحد باربرداری مطابق جدول (۲) ارایه شده است. کوچکترین واحد نمایش دستگاه تست مقاومت ۰.۰۰۱kg است. قبل از اجرای تست کالیبراسیون سنسور سوراخ‌کاری دستگاه تست مقاومت با وزنهای استاندارد 5kg تا 50kg تست می‌شود و خطای نمایش داده شده در حد صفر بود. آزمایش‌های سوراخ‌کاری تنظیم شده برای چدن ریخته‌گی شامل سرعت‌های دورانی ۴۹۰rpm، ۳۳۰rpm، ۱۶۰rpm و ۰.۲۲mm/rev، ۰.۱۳mm/rev، ۰.۰۳۳mm/rev است. این آزمایشها با سوراخ‌های پیش‌مته متعدد و با اختلاف حداکثر ۲mm در قطر اجرا شده‌اند. قطعات چدنی مورد استفاده پس از ۴۰×۴۰×۴۰۰mm³ ریخته‌گری با ابعاد تقریبی ماشین‌کاری شده‌اند. نیروی محوری (F_A) و گشتاور پیچشی (M_i) در هر مرحله از آزمایش از دینامومتر قرایت می‌شود. این مقادیر در ستونهای دوم و سوم جدول (۳) درج شده‌اند. چنانچه مقادیر نیروهای برشی بر سطح مقطع براده نتراشیده در مقاطع مختلف لبه‌های برش مته مارپیچ تقسیم گردد. فشارهای مخصوص برش در دو راستای قائم و مماسی ($K_n, K_r [N/mm^2]$) محاسبه می‌شود. مقادیر ذکر شده مطابق رابطه (۱۵) محاسبه شده و در ستونهای چهارم و پنجم جدول (۳) ثبت شده‌اند.

$$K_n(\rho) = \frac{F_A}{2 \sin \frac{\alpha_f}{2} \cos i(\rho) R \Delta \rho}$$

$$K_r(\rho) = \frac{M_i \times 1000}{2 R \rho \frac{\alpha_f}{2} \cos i(\rho) R \Delta \rho}$$

در این رابطه N سرعت دورانی اسپیندل بر حسب rpm است زاویه براده لبه جان مته تابعی از زاویه رأس مته و زاویه لبه جان مته است که با رابطه:

$$\alpha_{n, ch} = -\{\tan^{-1}[\tan(k) \cos(\pi - cea)]\} \quad (11)$$

بیان می‌شود.

با انتگرال گیری از فشارهای مخصوص برش از فاصله شعاع منطقه فشار تا شعاع سوراخ پیش‌مته و در طول لبه جان مته، نیروهای برشی (نیروی محوری و گشتاور پیچشی) اعمال شده بر لبه‌های برش ثانویه مته مارپیچ محاسبه می‌شود. شعاع منطقه فشار، تابعی از نرخ پیشروی و زاویه رأس متة مارپیچ است. رابطه زیر جهت پیشگویی شعاع منطقه فشار فلزات ارائه شده است [۶]:

$$R_a = \frac{a_f}{2 \tan(90 - k)} \quad (12)$$

برای محاسبه نیروهای برشی منطقه فشار، تئوری لغزش کاربرد دارد. مطابق تئوری لغزش نیروهای برشی منطقه فشار واقع در مرکز لبه جان مته مارپیچ به شرح روابط زیر قابل محاسبه است [۶]:

$$F_{Aind} = \frac{4k(1+\varepsilon)a_f R_a \sin \alpha_{n, ch}}{[\cos \alpha_{n, ch} - \sin(\alpha_{n, ch} - \varepsilon)]} \quad (13)$$

$$M_{tind} = \frac{2k(1+\varepsilon)a_f \cos \alpha_{n, ch} R_a^2}{[\cos \alpha_{n, ch} - \sin(\alpha_{n, ch} - \varepsilon)]}$$

در این رابطه K حد تنش برشی ماده کار است. مقدار عددی ε نیز از شرایط مرزی مسئله حاصل می‌شود.

$$\varepsilon = 2\alpha_{n, ch} (rads) - \cos^{-1}\left\{\tan\left(\frac{\pi}{4} - \frac{\varepsilon}{2}\right)\right\} \quad (14)$$

مقادیر نیروی برشی در منطقه فشار با کسر کردن مجموع نیروهای برشی واقع بر لبه‌های برش ثانویه از لبه جان مته حاصل می‌شود. حدود نیروهای برشی در مناطق سه گانه مته مارپیچ به طرق تجربی حاصل و با پیشگویی‌های ناشی از معادلات برشی مقایسه می‌شود. اطلاعات نیروی برشی برای کل مته مارپیچ موقعی ناشی می‌شود که ابزار به انتهای سوراخ پیش‌مته می‌رسد و مناطق سه گانه پیشانی آن (لبه‌های برنده اصلی، لبه‌های برش ثانویه و منطقه فشار) با قطعه کار درگیر شود (شکل ۵).

برابر e^{a_2} می‌گردد، در ادامه شرح ریاضی این مرحله ذکر می‌شود:

$$k_n = a_0 \cdot t_c^{a_1} \cdot v^{a_2} \cdot e^{a_3 \alpha_n}$$

$$A = \ln c_1 = a_1 = 7.074 \rightarrow c_1 = 1181.254$$

$$B = a = -0.609$$

در حالت سوم محاسبات ضرایب a_3, a_0 بشرح روابط زیر و مطابق جدول (۵) و اجرای روش خط مریع حداقل (LSL) محاسبه می‌شود:

$$k_n = c_1 \rho^a$$

$$k_n = a_0 \cdot t_c^{a_1} \cdot v^{a_2} \cdot e^{a_3 \alpha_n}$$

$$c_1 \rho^a = a_0 \cdot t_c^{a_1} \cdot v^{a_2} \cdot e^{a_3 \alpha_n},$$

$$A = \frac{c_1 \rho^a}{t_c^{a_1} \cdot v^{a_2}} = \frac{c_1 \rho^a}{(0.5 a_f \sin k)^{a_2} \cdot v^{a_2}}$$

$$A = a_0 e^{a_3 \alpha_n} \rightarrow \ln A = a_3 \alpha_n + \ln a_0$$

$$A = \ln a_0 = -32.573 \rightarrow a_0 = 7.141 \times 10^{-15}$$

$$B = a_3 = -17.866$$

معادله نهایی زیر برای محاسبه نیروی محوری در مقاطع مختلف لبه‌های برش اصلی و لبه‌های متنه مارپیچ با مشخصات ذکر شده در جدول (۱) و بهنگام سوراخکاری چدن ریخته‌گری ارایه می‌شود:

$$\begin{aligned} F_A(t) &= \int_{\rho/R}^{(t)/R} 2K_n(\rho) \frac{a_f}{2} \sin k \cos i(\rho) R d\rho \\ &= \frac{1077.331 R a_f \sin k}{0.393} \left\{ \left(\frac{r(t)}{R} \right)^{0.393} - \left(\frac{r_p}{R} \right)^{0.393} \right\} \\ &\quad + \frac{1077.331 a_f w^2 \sin^3 k}{2R \times 1.607} \left\{ \left(\frac{r(t)}{R} \right)^{-1.607} - \left(\frac{r_p}{R} \right)^{-1.607} \right\} \end{aligned}$$

مرحله دوم: محاسبه ضرایب مجھول در حالت اول مطابق جدول (۳) و شکل (۹) خط مریعات حداقل (LSL) محاسبه می‌شود. با توجه به اینکه در این حالت سرعت برشی ثابت و نرخ پیشروی متغیر است لذا عرض از مبدأ و شبی خط معرف a , a شده و ضریب c نیز برابر e^{a_1} بوده و بشرح زیر محاسبه می‌شود:

$$2R = 19.5mm$$

$$n = 330rpm$$

$$a_{f1} = 0.13mm/rev, a_{f2} = 0.22mm/rev,$$

$$a_{f3} = 0.33mm/rev$$

$$k_t = c_2 \rho^b \rightarrow \ln k_t = b \ln \rho + \ln c_2$$

در رابطه فوق $(K_n(\rho), K_n)$ بر حسب N/mm^2 است.

در جدول (۴) مقادیر زوایای براده نرمال و تمایل وهمچنین سطح مقطع براده نتراشیده در مقاطع مختلف لبه‌های برش متنه مارپیچ محاسبه شده است. مقادیر جدول اخیر محاسبه فشارهای مخصوص برش را مطابق رابطه (۱۵) ساده‌تر می‌کند.

مجھولات معادلات فشارهای مخصوص برش $(b_3, b_2, b_1, b_0, a_3, a_2, a_1, a_0)$ و معادلات نیروهای برشی (b, c_2, a, c_1) با روش تشریع شده در بخش ۱ و با اعمال روش خط مریعات حداقل باید پنج سری آزمایش طراحی و اجرا شود. سرعت دورانی ثابت ۳۳۰rpm با نرخ ۰.۳۳mm/rev, ۰.۲۲mm/rev, ۰.۱۳mm/rev پیشروی ثابت ۰.۱۳mm/rev با سرعتهای دورانی ۴۹۰rpm, ۳۳۰rpm, ۱۶۰rpm انتخاب می‌شود. اطلاعات نیرویی این آزمایشها در جدول (۳) و اشکال (نمودارهای) (۶) تا (۱۷) ثبت شده‌اند. عرض از مبدأ و شبی نمودارهای $K_t - \rho, K_n - \rho$ با اعمال روش خط مریعات حداقل محاسبه می‌شود. وقتی عملیات سوراخکاری با سرعت برشی ثابت و نرخ پیشروی متغیر اجرا گردد عرض از مبدأ و شبی خط بترتیب برابر a_1 (یا b_2) و a (یا b) خواهد شد. ضرایب مجھول در طی دو مرحله عملیات و بشرح زیر محاسبه می‌شود:

مرحله اول: محاسبه ضرایب مجھول در حالت اول مطابق جدول (۳) و شکل (۹) خط مریعات حداقل محاسبه می‌شود. با توجه به این نکته که در این حالت سرعت برشی ثابت و نرخ پیشروی متغیر است لذا عرض از مبدأ و شبی خط معرف a , a شده و ضریب c نیز برابر e^{a_1} بوده و بشرح زیر محاسبه می‌شود:

$$2R = 19.5mm$$

$$n = 330rpm$$

$$a_{f1} = 0.13mm/rev, a_{f2} = 0.22mm/rev,$$

$$a_{f3} = 0.33mm/rev$$

$$k_t = c_1 \rho^a \rightarrow \ln k_t = a \ln \rho + \ln c_1$$

$$k_t = a_0 \cdot t_c^{a_1} \cdot v^{a_2} \cdot e^{a_3 \alpha_n}$$

$$A = \ln c_1 = a_1 = 6.881 \rightarrow c_1 = 973.408$$

$$B = a = -0.605$$

در حالت دوم مطابق جدول (۳) و شکل (۱۲) خط مریعات حداقل محاسبه می‌شود. با توجه به این نکته که در این حالت نرخ پیشروی ثابت و سرعت برشی متغیر است لذا عرض از مبدأ و شبی خط بترتیب معرف a , a شده و ضریب c نیز

پیشروی متغیر $0.22mm / rev, 0.13mm / rev$ و $0.33mm / rev$ و همچنین نرخهای پیشروی ثابت $0.22mm / rev, 0.13mm / rev$ و سرعتهای برشی متفاوت $490rpm, 330rpm, 160rpm$ مارپیچ به قطر $19.5mm$ و قطعه کار چدنی اجرا شده است. نتیجه این محاسبات در جدول (۷) برای دور $160rpm$ ارایه شده است. میانگین مقادیر حاصل از آزمایشها مذکور بعنوان مقدار نهایی مجھولات در نظر گرفته می‌شود. بدین ترتیب فرم نهایی معادلات نیروهای برشی بشرح معادلات زیر ارایه می‌گردد:

$$F_A(t) = \int_{\rho/R}^{(t)/R} 2K_n(\rho) \frac{a_f}{2} \sin k \cos i(\rho) R d\rho \\ = \frac{1077.331 Ra_f \sin k}{0.393} \left\{ \left(\frac{r(t)}{R} \right)^{0.393} - \left(\frac{r_p}{R} \right)^{0.393} \right\} \\ + \frac{1077.331 a_f w^2 \sin^3 k}{2R \times 1.607} \left\{ \left(\frac{r(t)}{R} \right)^{-1.607} - \left(\frac{r_p}{R} \right)^{-1.607} \right\} \quad (16)$$

در جدول (۸) حداقل خطا مقدار حقيقی نیروهای برشی حاصل از شرایط سوراخکاری مختلف در مقاطع متعدد لبه‌های برش اصلی و همچنین لبه جان مته مارپیچ با مقادیر پیشگویی شده به وسیله معادلات نیروی برشی محاسبه شده است. همچنین در شکل (۱۰) پروفیل نیروی محوری و گشتاور پیچشی حاصل از شرایط نمونه عملیات سوراخکاری با مقادیر واقعی حاصل از آزمایشها سوراخکاری مقایسه شده است.

نتیجه گیری و پیشنهادها

حداقل خطا مقدار نیروهای برشی پیشگویی شده در مقاطع مختلف لبه‌های برش مته مارپیچ $15/53$ درصد است. مطابق مثالهای مطرح شده حداقل خطا مقدار نیروهای برشی منطقه برش ثانویه و لبه‌های برندۀ اصلی مته مارپیچ بترتیب $12/58$ و $15/52$ درصد است.

به تجربه ثابت شده است که پروفیل نیروی محوری و گشتاور پیچشی در هنگام ورود مته به قطعه کار بترتیب محدب و مقعر است. انحرافات مذکور در معادلات مدل‌های پیشگویی کاملاً مستتر است. بیشترین مقدار فشارهای مخصوص برش در پیرامون محور مته مارپیچ بوده و این مقادیر در راستای شعاع ابزار کاهش می‌یابد. نیروی محوری مجموع انتگرالی حاصل‌ضرب فشار مخصوص برش در سطح مقطع برآرد نتراسیده است در حالیکه گشتاور پیچشی مجموع حاصل‌ضرب فاصله شعاعی در المان نیروی مماسی است. مقدار نیروی محوری بسمت مرکز مته مارپیچ بزرگتر و گشتاور

$$k_1 = b_0 t_c^{b_1} \cdot v^{b_2} \cdot e^{b_3 \alpha_n}$$

$$A = \ln c_2 = b_1 = 7.945 \rightarrow c_2 = 2822.432$$

$$B = b = -0.456$$

در حالت دوم که نرخ پیشروی ثابت و سرعت برشی متغیر است، مطابق جدول (۳) و شکل (۱۲) خط مربعات حداقل (LSL) محاسبه می‌شود. عرض از مبدأ و شیب خط اخیر معرف b, b_2 می‌شود ضریب c_2 هم مساوی e^{b_2} بوده و مشابه موارد قبلی بشرح زیر محاسبه می‌شود:

$$2R = 19.5mm$$

$$a_f = 0.13mm / rev$$

$$n_1 = 160rpm, n_2 = 330rpm, n_3 = 490rpm$$

$$k_1 = c_2 \rho^b \rightarrow \ln k_1 = b \ln \rho + \ln c_2$$

$$k_1 = b_0 t_c^{b_1} \cdot v^{b_2} \cdot e^{b_3 \alpha_n}$$

$$A = \ln c_2 = b_2 = 8.157 \rightarrow c_2 = 3486.034$$

$$B = b = -0.440$$

$$\text{در حالت سوم ضرایب } b_3, b_0 \text{ بشرح روابط زیر و}$$

جدول (۶) و اجرای روشن خط مربعات حداقل محاسبه می‌شود:

$$k_1 = c_2 \rho^b$$

$$k_1 = b_0 t_c^{b_1} \cdot v^{b_2} \cdot e^{b_3 \alpha_n}$$

$$c_2 \rho^b = b_0 t_c^{b_1} \cdot v^{b_2} \cdot e^{b_3 \alpha_n},$$

$$B = \frac{c_2 \rho^b}{(0.5 a_f \sin k)^{b_1} \cdot v^{b_2}}$$

$$B = b_0 e^{b_3 \alpha_n} \rightarrow \ln B = b_3 \alpha_n + \ln b_0$$

$$B = b_3 = -20.016$$

$$A = \ln b_0 = -37.920 \rightarrow b_0 = 3.40 \times 10^{-17}$$

معادله نهایی زیر جهت محاسبه گشتاور پیچشی اعمال شده در مقاطع مختلف لبه‌های برش اصلی و لبه جان مته مارپیچ با مشخصات ذکر شده در جدول (۱) و بهنگام سوراخکاری چند ریخته‌گی ارایه می‌شود:

$$M_1 = \int_{\rho/R}^{(t)/R} 2K_1(\rho) \frac{a_f}{2} R \rho \cos i(\rho) R d\rho \\ = \frac{3152.330 R^2 a_f}{1.552} \left\{ \left(\frac{r(t)}{R} \right)^{1.552} - \left(\frac{r_p}{R} \right)^{1.552} \right\} \\ + \frac{3152.330 a_f w^2 \sin^2 k}{0.896} \left\{ \left(\frac{r(t)}{R} \right)^{-0.448} - \left(\frac{r_p}{R} \right)^{-0.448} \right\}$$

مشابه محاسبات تشریح شده برای شرایط سوراخکاری با سرعت‌های برشی ثابت $490rpm, 160rpm$ و نرخهای

فولاد تند برابر روی قطعه کار چدنی) با اطلاعات حاصل از منحنی پیشگو: قطر مته 19.5 mm سرعت دورانی 330 و نرخ پیشروی 0.33mm/rev

معادلات نیروی برشی ارایه شده برای محاسبه مقایسه نیروی محوری و گشتاور پیچشی اعمال شده به هر نوع مته مارپیچ HSS و بهنگام سوراخکاری چدن ریختگی کاربرد دارد.

پیچشی کم می‌شود لذا پروفیل گشتاور پیچشی نسبت به مختصات شعاعی نرمال مقعر می‌شود.

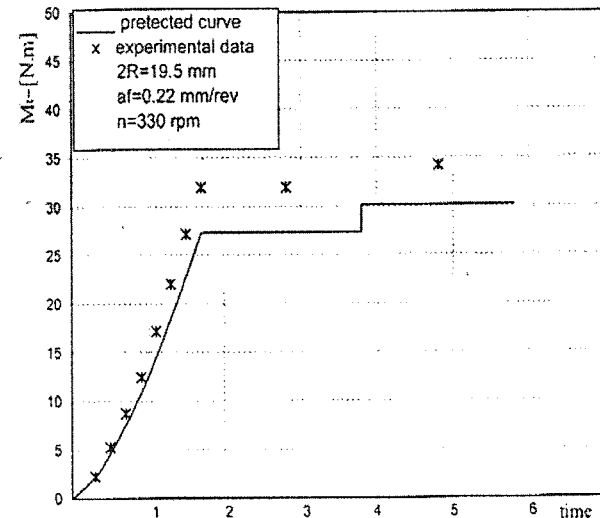
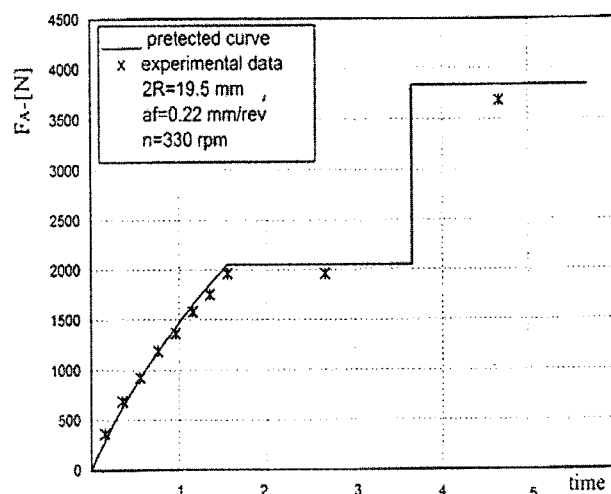
نمودارهای شبیه‌سازی شده با معادلات نیروهای برشی در شرایط سوراخکاری متعدد با اطلاعات تجربی حاصله تطابق نسبتاً خوبی دارد. نتایج حاصل از اجرای آزمایش‌های سوراخکاری با شرایط مختلف عمومیت مدل ارایه شده را اثبات می‌نماید.

پیشنهادها:

- ۱- اعمال پارامتر جنس ابزار و قطعه کار در معادلات نیروهای برشی.
- ۲- تحقیق درباره نیروهای برشی اعمال شده بر مته مارپیچ در منطقه فشار.
- ۳- چنانچه قابلیت ثبت پیوسته اطلاعات نیروی برشی مهیا گردد آزمایش‌های سوراخکاری با دقت بیشتر و در مدت زمان کوتاهتری اجرا می‌گردد.
- ۴- ارائه رابطه افزایش نیروی محوری و گشتاور پیچشی نسبت به طول عمر مته مارپیچ.
- ۵- اعمال پارامتر عمق برش در معادلات نیروی محوری و گشتاور پیچشی

جدول (۱) مشخصات هندسی و جنس مته مارپیچ مورد استفاده برای مدلسازی نیروهای برشی بر روی قطعه کار چدنی

قطر مته ۱۹/۵ میلیمتر	قطر مته مارپیچ
زاویه ۳۳ درجه	زاویه مارپیچ مته
زاویه ۱۳۰ درجه	زاویه لبه جان مته
فولاد تندبز	جنس مته مارپیچ
زاویه ۱۱۸ درجه	زاویه راس مته
ضخامت چان مته ۳/۲ میلیمتر	ضخامت چان مته
زاویه آزاد مته ۱۴ درجه	زاویه آزاد مته
چدن ریختگی	جنس قطعه کار



شکل (۱۰): مقایسه مقادیر نیروی محوری و گشتاور پیچشی حاصل از آزمایش‌های سوراخکاری (با مته مارپیچ از جنس

جدول (۲) گزارش کالیبراسیون مؤلفه قایم سنسور سوراخکاری دستگاه دینامومتر

بار نمایشگر واقعی	رنج 10KN		رنج 3KN		رنج 1KN	
	بارگذاری	باربرداری	بارگذاری	باربرداری	بارگذاری	باربرداری
0.2	0.2		0.14		0.19	0.19
0.3	0.3		0.23		0.27	0.27
0.4	0.4		0.32		0.35	0.35
0.5	0.5		0.4	0.6	0.43	0.43
0.6	0.6		0.49		0.52	0.53
0.7	0.7		0.58		0.6	0.66
0.8	0.8		0.66		0.68	
0.9	0.91		0.75		0.77	
1	1.02	0.92	0.83			
1.2	1.23		1	1		
1.4	1.44		1.17	1.53		
1.6	1.65		1.32	1.82		
1.8	1.84		1.48			
2	2.02	1.82	1.65	2.42		
2.5	2.32		2.05			
3	2.62	2.75	2.43	2.93		
4	3.36	3.65	3.19			
5	4.31	4.53	3.95			
6	5.22		4.71			

جدول (۳) مقادیر نیروی محوری و گشتاور پیچشی و فشارهای مخصوص برش در دو راستای قایم و مماس بر لبه های
برش منه مارپیچ (بخشی از نمودار)

2R=19.5 mm , N=160 rpm , ar=0.13 mm/rev				
ρ	M _t [N.m]	F _A [N]	K _t [N/mm ²]	K _a [N/mm ²]
0.25	1.80	285.00	7007.108	3154.932
0.35	2.43	249.38	6146.600	2511.291
0.45	2.84	178.05	5387.092	1728.738
0.55	3.03	204.76	4618.692	1952.645
0.65	3.84	136.58	4902.630	1289.252
0.75	4.05	170.72	4453.000	1601.335
0.85	4.15	136.58	4009.185	1275.711
0.95	4.77	164.00	4110.938	1527.314

جدول (۴) مقادیر زاویه براده نرمال و زاویه تمایل و همچنین سطح مقطع براده نتراشیده
در مقاطع مختلف لبه های مته مارپیچ [۵]

ρ	زاویه تمایل $i(\rho)$		زاویه براده نرمال $\alpha n(\rho)$		سطح مقطع المانی براده تغییر شکل نیافته ($\times 10^{-5}$)		
	rad	deg	rad	deg	0.13 mm/rev	0.22 mm/rev	0.33 mm/rev
0.25	0.589	33.751	0.142	8.125	5269	8917	13376
0.35	0.418	23.934	0.211	12.097	5793	9803	14704
0.45	0.324	18.562	0.295	16.894	6008	10167	15251
0.55	0.265	15.162	0.377	21.626	6117	10352	15527
0.65	0.224	12.821	0.458	26.267	6180	10458	15686
0.75	0.194	11.107	0.538	30.798	6219	10524	15786
0.85	0.171	9.796	0.614	35.202	6245	10569	15853
0.95	0.153	8.762	0.689	39.467	6264	10600	15900

جدول (۵) مقادیر سرعتهای برشی و پارامتر A $\frac{C_1 \rho^a}{t_c^{a1} V^{a2} \langle \rho \rangle}$ در مقاطع مختلف لبه های برندۀ
مته مارپیچ بازای سرعتها و پیشروی های مختلف

ρ	0.25	0.35	0.45	0.55	0.65	0.75	0.85	0.95
αn [rad]	-0.819	0.211	0.295	0.377	0.458	0.538	0.614	0.689
V160 [mm/rev]	2450.442	3430.619	4410.796	5390.973	6371.150	7351.327	8331.504	9311.681
V330 [mm/rev]	5054.037	7075.652	9097.267	11118.882	13140.497	15162.112	17183.726	19205.341
V490 [mm/rev]	7504.479	10506.271	13508.063	16509.855	19511.647	22513.438	25515.230	28517.022
A1 V330.afl	6.052E-15	4.569E-16	6.633E-17	1.421E-17	3.939E-18	1.313E-18	5.020E-19	2.137E-19
A2 V330.af2	1.621E-16	1.224E-17	1.776E-18	3.804E-19	1.055E-19	3.515E-20	1.344E-20	5.723E-21
A3 V330.af3	9.956E-18	7.515E-19	1.091E-19	2.337E-20	6.479E-21	2.159E-21	8.237E-22	3.515E-22
A4 V160.af1	1.237E-12	9.326E-14	1.353E-14	2.894E-15	8.020E-16	2.671E-16	1.021E-16	4.344E-17
A5 V330.af1	7.385E-15	5.568E-16	8.075E-17	1.728E-17	4.788E-18	1.595E-18	6.096E-19	2.594E-19
A6 V490.af1	4.507E-16	3.398E-17	4.928E-18	1.055E-18	3.922E-19	9.731E-20	3.720E-20	1.583E-20

جدول (۶) مقادیر سرعتهای برشی و پارامتر B در مقاطع مختلف لبه های برنده مته ماربیج

بازای سرعتها و پیشرویهای مختلف

ρ	0.25	0.35	0.45	0.55	0.65	0.75	0.85	0.95
α_n [rad]	-0.819	0.211	0.295	0.377	0.458	0.538	0.614	0.689
V160 [mm/rev]	2450.442	3430.619	4410.796	5390.973	6371.150	7351.327	8331.504	9311.681
V330 [mm/rev]	5054.037	7075.652	9097.267	11118.882	13140.497	15162.112	17183.726	19205.341
V490 [mm/rev]	7504.479	10506.271	13508.063	16509.855	19511.647	22513.438	25515.230	28517.022
B1 V330,afl	3.005E-17	1.656E-18	1.902E-19	3.377E-20	8.010E-21	2.335E-21	7.946E-22	3.049E-22
B2 V330,af2	4.597E-19	2.535E-20	2.910E-21	5.167E-22	1.226E-22	3.573E-23	1.216E-23	4.665E-24
B3 V330,af3	1.834E-20	1.011E-21	1.161E-22	2.061E-23	4.890E-24	1.426E-24	4.851E-25	1.861E-25
B4 V160,afl	1.332E-14	7.371E-16	8.507E-17	1.516E-17	3.604E-18	1.053E-18	3.591E-19	1.380E-19
B5 V330,afl	3.630E-17	2.012E-18	2.319E-19	4.131E-20	9.825E-21	2.871E-21	9.789E-22	3.762E-22
B6 V490,afl	1.444E-18	8.002E-20	9.223E-21	1.643E-21	3.908E-22	1.142E-22	3.893E-23	1.496E-23

جدول (۷) ترتیب محاسبه ضرایب معادلات نیروی محوری و گشتاور پیچشی و فشارهای مخصوص برش

ضرایب مجهول	a_0	a_1	a_2	a_3	c_1	a	b_0	b_1	b_2	b_3	c_2	b
شرط تست												
$n=160\text{rpm}$ $a_{11}=0.13$ $a_{12}=0.22$ $a_{13}=0.33$		6.941			1033.287	-0.612		8.039			3100.005	-0.436
$a_1=0.13\text{mm/rev}$ $n_1=160\text{rpm}$ $n_2=330\text{rpm}$ $n_3=490\text{rpm}$			7.073		1179.682			8.157			3486.034	
مقادیر نهایی ضرایب مجهول	1.120x10 ⁻¹³	1.12x10 ⁻¹³	6.941	7.073	-17.76	-0.611	8.039		-19.992		3293.02	-0.438
فرم نیروی محوری و گشتاور پیچشی بر اساس ضرایب فوق	$F_{Act}(t) = \int_{r_p/R}^{r(t)/R} 2K_n(\rho) \frac{a_f}{2} \sin k \cos i(\rho) R d\rho = \frac{1106485 R a_f \sin k}{0.389} \left\{ \left(\frac{r(t)}{R} \right)^{0.389} - \left(\frac{r_p}{R} \right)^{0.389} \right\}$ $+ \frac{1106485 a_f w^2 \sin^3 k}{2R(1.611)} \left\{ \left(\frac{r(t)}{R} \right)^{-1.611} - \left(\frac{r_p}{R} \right)^{-1.611} \right\}$ $M_{tcl}(t) = \int_{r_p/R}^{r(t)/R} 2K_t(\rho) \frac{a_f}{2} R \rho \cos i(\rho) R d\rho = \frac{3293.02 R^2 a_f}{(1.562)} \left\{ \left(\frac{r(t)}{R} \right)^{1.562} - \left(\frac{r_p}{R} \right)^{1.562} \right\}$ $+ \frac{3293.02 a_f w^2 \sin^2 k}{0.876} \left\{ \left(\frac{r(t)}{R} \right)^{-0.438} - \left(\frac{r_p}{R} \right)^{-0.438} \right\}$											
فرم نیروی محوری و گشتاور پیچشی بر اساس میانگین ضرایب حاصل از آزمایشها	$F_{Act}(t) = \int_{r_p/R}^{r(t)/R} 2K_n(\rho) \frac{a_f}{2} \sin k \cos i(\rho) R d\rho = \frac{1036542 R a_f \sin k}{0.388} \left\{ \left(\frac{r(t)}{R} \right)^{0.388} - \left(\frac{r_p}{R} \right)^{0.388} \right\}$ $+ \frac{1036542 a_f w^2 \sin^3 k}{2R(1.612)} \left\{ \left(\frac{r(t)}{R} \right)^{-1.612} - \left(\frac{r_p}{R} \right)^{-1.612} \right\}$ $M_{tcl}(t) = \int_{r_p/R}^{r(t)/R} 2K_t(\rho) \frac{a_f}{2} R \rho \cos i(\rho) R d\rho = \frac{2272.139 R^2 a_f}{(1.551)} \left\{ \left(\frac{r(t)}{R} \right)^{1.551} - \left(\frac{r_p}{R} \right)^{1.551} \right\}$ $+ \frac{2272.139 a_f w^2 \sin^2 k}{0.898} \left\{ \left(\frac{r(t)}{R} \right)^{-0.449} - \left(\frac{r_p}{R} \right)^{-0.449} \right\}$											

بر مناطق سه کانه مته مارپیچ جنس اینما: فولاد تند بر جنس قطعه کار: چدن
جدول (۱) تقسیمه حدود حقیقی بیرونیهای برشی با مقادیر حاصل از معادلات پیشکو

	2R mm	n rpm	ar mm/rev	2w mm	2Ra mm	Δp p_{2-p1}	F _{A1} N	F _{Ae} N	M _H N.m	ΔF_A	ΔM_H
1	19.5	-	0.08	3.3	0.133	4.3	0.007-0	16.82	-	0.0003	-
2	16	-	0.08	2.3	0.133	3	0.008-0	16.82	-	0.0003	-
3	10	-	0.08	1.5	0.133	2	0.013-0	16.82	-	0.0003	-
4	19.5	-	0.13	3.3	0.216	4.3	0.011-0	44.40	-	0.0012	-
5	16	-	0.13	2.3	0.216	3	0.014-0	44.40	-	0.0012	-
6	10	-	0.13	1.5	0.216	2	0.022-0	44.40	-	0.0012	-
7	19.5	-	0.22	3.3	0.366	4.3	0.019-0	127.31	-	0.006	-
8	16	-	0.22	2.3	0.366	3	0.023-0	127.31	-	0.006	-
9	10	-	0.22	1.5	0.366	2	0.037-0	127.31	-	0.006	-
10	19.5	-	0.33	3.3	0.549	4.3	0.028-0	286.46	-	0.020	-
11	16	-	0.33	2.3	0.549	3	0.034-0	286.46	-	0.020	-
12	10	-	0.33	1.5	0.549	2	0.055-0	286.46	-	0.020	-
13	19.5	330	0.22	3.3	0.366	4.3	22-019	1660.43	1595.83	2.361	2.2
14	19.5	330	0.33	3.3	0.549	4.3	22-028	2254.41	2083.10	4.291	4.020
15	16	720	0.08	2.3	0.133	3	19-008	544.30	563.27	0.567	0.620
16	10	1000	0.08	1.5	0.133	2	02-013	320.69	362.00	0.238	0.260
17	19.5	330	0.22	3.3	0.366	4.3	1-022	2051.85	1961.94	29.322	31.97
18	19.5	330	0.33	3.3	0.549	4.3	1-022	3077.77	2878.80	40.983	41.900
19	19.5	490	0.22	3.3	0.366	4.3	0.8-0.3	1357.00	1145.56	16.259	17.540
20	19.5	160	0.33	3.3	0.549	4.3	0.7-0.2	2253.11	1975.61	21.163	23.538
21	16	720	0.08	2.3	0.133	3	1-0.19	659.88	723.70	6.712	6.900
22	10	1000	0.08	1.5	0.133	2	1-0.2	402.85	412.50	2.600	2.400
23	16	720	0.08	2.3	0.133	3	0.9-0.3	481.67	457.30	5.080	5.200
24	19.5	330	0.22	3.3	0.366	4.3	1-0.0	3839.59	3685.08	31.68	34.17
25	19.5	330	0.33	3.3	0.549	4.3	1-0.0	5618.64	5248.36	43.766	45.920
26	16	720	0.08	2.3	0.133	3	1-0.0	1221.00	1303.92	7.280	7.520
27	10	1000	0.08	1.5	0.133	2	1-0.0	740.36	791.32	2.838	2.660

۴- مراجع

- L. M. KACHANOV , " *Foundation of the theory of plasticity* ", North holland publishing company , amsterdam , 1971 [۶]
- K. JEMIELNIAK , " *Modelling of dynamic cutting coefficients in three-dimensional cutting* " , International journal of machine tools manufaturings , vol. 32 , 1991 [۷]
- R.A.WILLIAMS , " *A Study of drilling process , " Journal of engineering for industry* " , november 1974 [۸]
- A. R. WATSON , " *Geometry of drill elements* " , International journal of machine tool design research , vol. 25 , 1984 [۹]
- ASM , " *Tool and manufacturing engineering handbook*" [۱۰]
- A. J. P. SABBERWAL , " *Chip section and cutting forces during the milling operation* " , Annals of the CIRP , 1961 , VOL. 10 [۱]
- P. L. B. OXLEY , " *Rate of strain effect in metal cutting* " , ASME journal of engineering for industry , 1963 , vol. 85 [۲]
- W. T. WHITE , J. E. NEELY , " *Machine tools and machining practices* " , vol. 2 [۳]
- V. CHANDRASEKHARAN , R. E. DEVOR , " *A Mechanistic approach to predicting the cutting forces in drilling : with application to fiber-reinforced composite materials* " , Journal of engineering for industry , november , 1995 [۴]
- W. J. ENDRES , " *A Dynamic model of the cutting force system in the turning process* " , M. S. Thsis , univercity of illinois at urbana – champaign [۵]